

Physique –Chimie MP (2005)

Partie I –

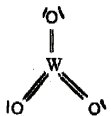
I-A Etude structurale

1)a- $1s^2 2s^2 2p^6 3s^2 3p^6 4s^2 3d^{10} 4p^6 5s^2 4d^{10} 5p^6 6s^2 2f^{14} 5d^4$ ou $[Xe] 4f^{14} 5d^4 6s^2$

b- élément de transition car couche 5d incomplète

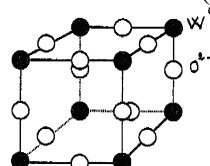
c- en perdant 6 é des couches 6s et 5d (il acquiert une structure stable)

2) molécule plane , angle de 120°



3) a- maille

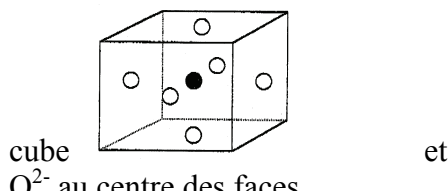
ion W^{6+} $8 \times (1/8) = 1$ et O^{2-} $12 \times (1/4) = 3$



b- coordinence W/O : 6 (octaèdre)

O/W : 2 (∈ à 2 octaèdres)

- par translation , W^{6+} est au centre du



et

c- compacité $C = (1/a^3) [3 \times (4/3) \pi r_o^3 + (4/3) \pi r_w^3]$ avec $a = 2(r_w + r_o) = 388\text{pm}$
 $C = 0.51(1)$ structure non compacte

*rayons des cations M^+ : milieu des faces $r_{ion} \leq (a - 2r_o)/2 = 62\text{ pm}$
 centre du cube $r_{ion} \leq (a\sqrt{2} - 2r_o)/2 = 142.3\text{pm}$, c'est le site occupé

I-B Electrochromisme

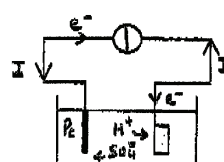
1)x(max théorique)=1

2)minimum d'absorption pour $\lambda=400\text{nm}$, la substance transmet cette λ , d'où sa couleur bleue

3) $x M^+ + WO_3 + x e^- \rightarrow M_x WO_3$, fractions W^{6+} réduits en W^{5+} : $100x\%$

4)

une réduction se produit donc cathode



b)au niveau de la cellule : $x M^+ + WO_3 + x e^- \rightleftharpoons M_x WO_3$

au niveau du platine : $H_2O \rightleftharpoons 2H^+ + 1/2 O_2 + 2 e^-$

5) a- (n :nbre de moles de WO_3 transformés) $S Q = x n F = x F (\mu l S /M)$, $Q = x F \frac{\mu l}{M}$

b- la courbe $A = f(Q)$ présente une asymptote $\forall \lambda$, donc la concentration de la substance qui absorbe n'évolue plus. $Q_{lim} = 26 \text{ mC.cm}^{-2}$ (entre 20 et 26)

c- $x_{lim} = \frac{Q_{lim} M}{2F\mu l} = 0.5$, formule du bronze $M_{0.5}WO_3$

d- au début de l'insertion, les courbes sont assimilables à des droites passant par l'origine donc A est proportionnelle à Q et Q à la concentration en $M_x WO_3$ donc Beer-Lambert vérifiée pour $Q > 8$, courbes non linéaires mais des réactions parasites consomment des charges ,A n'est plus proportionnelle à C , mais Beer-Lambert pas forcément mise en défaut.

- 6)a- transport plus facile si l'état physique est solide ;(mais moins bon transport des charges)
 b- platine non transparent , cher
 les 2 électrodes doivent être simultanément transparentes et colorées , au platine ,oxydation donc forme réduite incolore d'où IrO_x ou $\text{Ni}(\text{OH})_2$; IrO_x de préférence car bleue aussi .
 c- $\text{SQ}_{\text{lim}} = I \Delta t$; $\Delta t = 13 \text{ s}$, temps de réponse trop long .

I -C Elaboration de la poudre de tungstène métallique

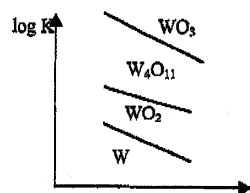
1)a- no : W (0) ; WO_3 (+VI) ; W_4O_{11} (+5.5 soit 2 à +VI et 2 à +V) ; WO_2 (+IV)

* pour chaque étape , il y a diminution du no , donc réduction

b- couleur bleue : en accord avec le fait que W a un no de VI ou V

2) a- les 3 équilibres ne sont pas simultanés car la valeur numérique de $P_{\text{H}_2\text{O}}/P_{\text{H}_2}$ est différente ($K_1 \neq K_2^{1/3} \neq K_3^{1/2}$)

b- justification avec Δ_rG° ou A°



3) a- $\Delta_rG^\circ_3 = 42,5 - 32,3 \cdot 10^{-3} T \text{ kJ.mol}^{-1}$

$\Delta_rH^\circ_3 = 42,5 \text{ kJ.mol}^{-1} > 0$ endothermique

$\Delta_rS^\circ_3 = 32,3 \text{ J.mol}^{-1}\text{K}^{-1}$ faible car pas de variation du nombre de moles gazeuses

b- $K^\circ_3 = 0,88 \neq 1$ donc $T = 1000^\circ\text{C}$ est voisine de la température d'inversion

c- * $A = -\Delta_rG^\circ_3 - 2RT \ln(P_{\text{H}_2\text{O}}/P_{\text{H}_2}) > 0$ d'où $P_{\text{H}_2\text{O}}/P_{\text{H}_2} < 0,938$

* l'excès de H_2 déplace l'équilibre ds le sens de la formation de W

* la méthode à contre-courant permet que le mélange le + pauvre en WO_2 rencontre H_2 pur valable pour les 2 autres réactions , il faut déshydrater H_2 pour que P_{H_2} soit maxi

Partie II

II-A Forces thermodynamiques

1) Cas de la conduction thermique pure

a- pb unidimensionnel si isolation latérale

régime stationnaire $[j_q(x) \sum u_x - j_q(x+dx) \sum u_x] = 0$, d'où $j_q(x) = j_q(x+dx)$

b- bilan entropique : $dS = \delta S_{\text{entrant}} - \delta S_{\text{sortant}} + \delta S_{\text{création}}$

$$= \left[\frac{j_q(x) \sum u_x}{T(x)} - \frac{j(x+dx) \sum u_x}{T(x+dx)} \right] dt + \delta S_{\text{création}} = 0 \text{ en régime}$$

stationnaire

$$* \text{ d'où } \delta S_e (\text{1er terme entre crochet}) \text{ et } \delta S_{\text{création}} = \frac{\partial}{\partial x} \left[\frac{j_q}{T} \right] \sum dx dt, \text{ or } j_q \text{ indépendant de } x$$

$$* \text{ d'où } \sigma = \frac{\delta S_{\text{creat}}}{\sum dx dt} = j_q \frac{d}{dx} \left(\frac{1}{T} \right),$$

* dimension $L^{-1}MT^{-3}\theta^{-1}$ ou $WK^{-1}m^{-3}$

* sens de σ : traduit que le système est le siège d'un phénomène irréversible et $\sigma \geq 0$

$$c- (\sigma = (4[T_L - T_o]^2) / (L^2 [T_L + T_o]^2)) \quad \sigma = 200 \text{ W K}^{-1}m^{-3}$$

2) Cas de la conduction électrique pure

a-conservation de la charge électrique en régime stationnaire : $\text{div } \mathbf{j} = 0$, $d\mathbf{j}/dx = 0$, j_e uniforme

$$b- \frac{dP}{dt} = \frac{dP}{\sum dx} = j_e \cdot \mathbf{E}, \text{ soit } dP = j_e \cdot \mathbf{E} \cdot \sum dx$$

en régime stationnaire : $\delta W + \delta Q = 0$ et $\delta Q/T + \delta S_{\text{creat}} = 0$,

$$\delta S_{\text{creat}} = -\delta Q/T = +\delta W/T = (j_e \cdot \mathbf{E} \cdot dt \cdot dt)/T$$

$$\sigma = j_e \cdot \mathbf{E} / T$$

$$c- \mathbf{E} = -\nabla V, \sigma = -j_e \nabla V / T \text{ soit } \sigma = j_e \cdot \Phi_e$$

$$d- \sigma = j_e^2 / (\gamma T) = I^2 / (\Sigma^2 T \gamma) = 0,578 \text{ W K}^{-1}m^{-3}$$

II-B Théorie de la réponse linéaire d'Onsager

1) loi de Fourier $\mathbf{j}_e = -\lambda \nabla T$ ou loi d'Ohm $\mathbf{j}_e = -\gamma \nabla V$

2)a- $L_{ee} = \gamma T$

b- à $\mathbf{j}_e = 0$, $L_{eq} \Phi_q = -L_{ee} \Phi_e$ (avec $\nabla(1/T) = -\nabla T/T^2$), $L_{qe} = L_{eq} = L_{ee} \epsilon T$

$$\text{et } \mathbf{j}_q = L_{qq}(-\nabla T/T^2) + L_{ee} \epsilon T (-\nabla V/T) = -\lambda \nabla T \text{ et } \nabla V = -\epsilon \nabla T, L_{qq} = L_{ee} \epsilon^2 T^2 = \lambda T^2$$

c- $\mathbf{j}_q = -(\lambda + \gamma \epsilon^2 T) (\nabla T) - T \gamma \epsilon \nabla V$ et $\mathbf{j}_e = -\gamma \epsilon \nabla T - \gamma \nabla V$ d'où la relation $\mathbf{j}_q = \dots$

la loi de Fourier n'est valable qu'en l'absence de courant électrique dans le milieu.

3) Effet Peltier

a-puis. reçue par la plaque froide $P_p^F = [j_q(x_n) - j_q(x_p)] \Sigma = [(\epsilon_n - \epsilon_p) T_F I / \Sigma] \Sigma = [(\epsilon_n - \epsilon_p) T_F I]$

b-* $P_p^F < 0$ la source froide cède de la puissance à la plaque

* on inverse I, $P_p^F > 0$, c'est la source qui reçoit la puissance

* 1^{er} cas pour réaliser un réfrigérateur

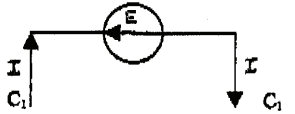
II-C Etude d'un réfrigérateur à effet Peltier

1) a-* puissance reçue par la source chaude $P_p^C = (\epsilon_p - \epsilon_n) T_c I$

* puissance fournie par le générateur $P_e = (\epsilon_p - \epsilon_n) I (T_c - T_F)$

b- $P_p^F = -0,53 \text{ W}$, $P_e = 0,039 \text{ W}$

c- $P_e = U I$ avec $U = (\epsilon_p - \epsilon_n) (T_c - T_F) = 7,8 \text{ mV}$ et résistance interne nulle



$$d\text{-}* \text{ efficacité } e = \frac{P_p^F}{P_e} = \frac{T_F}{T_c - T_F} = 13.65$$

* $e_f(\text{Carnot}) = \frac{T_F}{T_c - T_F}$, le fonctionnement du module est réversible

$$2) a- [\sum (j_q(x) - j_q(x+dx))] + P_j = 0 \text{ soit } \sum (-\frac{\partial j_q}{\partial x} dx) + (j_e \cdot E) \sum dx = 0 \Rightarrow \frac{\partial j_q}{\partial x} = j_e \cdot E$$

$$\text{avec (4) sur l'axe des } x : j_q = -\lambda_n \frac{\partial T}{\partial x} + \varepsilon_n(T) T \frac{I}{\sum} \text{ et } E = [j_e + \varepsilon \gamma \nabla T](1/\gamma) \text{ et } j_e = I / \sum$$

$$-\lambda_n d^2T/dx^2 + I/\sum [\varepsilon_n dT/dx + T d\varepsilon_n/dT \cdot dT/dx] = \frac{I}{\sum} \left(\frac{j_e}{\gamma} + \varepsilon_n \frac{dT}{dx} \right) = \frac{I^2}{\sum^2 \gamma} + \frac{I}{\sum} \varepsilon_n \frac{dT}{dx} \Rightarrow \text{eq différentielle de l'énoncé.}$$

$$b- d^2T/dx^2 = -I^2/(\lambda_n \gamma_n \sum^2) \Rightarrow T(x) = -\frac{I^2}{\lambda_n \gamma_n \sum^2} x^2/2 + (T_F - T_c) x/L + \frac{I^2}{\lambda_n \gamma_n \sum^2} Lx/2 + T_c$$

$$P_n^F = j_q(x=L) \sum u_x = -\sum \lambda_n dT/dx(x=L) \Rightarrow \text{énoncé}$$

c- 1^{er} terme : conduction thermique, 2^{ème} : effet Joule avec un coefficient $\frac{1}{2}$

$$3)a- \text{ avec le semi-conducteur p : } P_p^F = j_q(x=0) \sum u_x = -j \sum = +\sum \lambda_p dT/dx(x=0)$$

$$+ \text{analogie } \lambda_n <-> \lambda_p \text{ et } \gamma_n <-> \gamma_p, P_F = (\varepsilon_n - \varepsilon_p) I T_F + G (T_c - T_F) + RI^2/2$$

b- R : résistance électrique des 2 barres de semi-conducteur en série

G thermique en parallèle (extrémités soumises à la même différence de température)

c- $R = 5.23 \cdot 10^{-3} \Omega$ et $G = 1.2 \cdot 10^{-2} \text{ W.K}^{-1}$, précautions : éviter des ddp de contact ou des gradient de température

d- à $T_F = 273 \text{ K}$, $P_F = -0.227 \text{ W} < 0$ la source froide cède de la chaleur à la jonction

à $T_F = 253 \text{ K}$, $P_F = 0.052 \text{ W}$ le système ne fonctionne plus en réfrigérateur

approximations non validées car effet Joule (0.065 W), conduction thermique (0.24 ou 0.48) et effet Peltier ($1.95 \cdot 10^{-3} \text{ W}$) .

$$e- T_{\min} \text{ quand } P_F = 0, T_F = \frac{GT_c + RI^2/2}{G - (\varepsilon_n - \varepsilon_p)I}, T_F = 256,6 \text{ K}$$

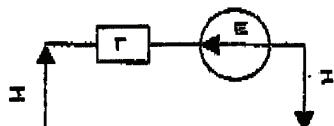
$$4) a- P_C = (\varepsilon_p - \varepsilon_n) I T_c + G (T_F - T_c) + RI^2/2$$

$$P_e = P_C + P_F = 0,17 \text{ W}$$

$$b- e = \frac{P_f}{P_e} = 1.33 \ll 13.6 \text{ à cause de l'effet Joule et de la conduction thermique}$$

$$c- P_e = (\varepsilon_p - \varepsilon_n) I (T_c - T_F) + RI^2 = U I + r I^2 \text{ avec } U = (\varepsilon_p - \varepsilon_n) (T_c - T_F) = 7,8 \text{ mV}$$

et $r = R = 5.22 \cdot 10^{-3} \Omega$.



5) nombre de modules : $50/(0.227) = 220.27$, soit N = 221 modules

montage en série (ou parallèle) du point de vue électrique et
en parallèle thermique .
